

·论著·

文章编号: 1007-8738(2013)03-0233-04

辐射损伤导致造血干/祖细胞衰老的机理研究

张琛, 孙可, 耿珊, 刘典锋, 张先平, 刘俊, 徐春燕, 王建伟, 王亚平*

(重庆医科大学干细胞与组织工程研究室, 组织胚胎学教研室, 重庆 400016)

[摘要] 目的 探讨辐射损伤导致骨髓造血干/祖细胞(HSC/HPC)衰老的可能机制。方法 雄性C57BL/6J小鼠随机分为辐照组和假辐照组, 辐照组小鼠经6.5 Gy的X射线全身一次性辐照, 假辐照组小鼠处理同辐照组, 但不辐照。辐照后24 h免疫磁珠分选法分离并计数两组小鼠的Sca-1⁺造血干/祖细胞细胞(Sca-1⁺HSC/HPC), 流式细胞术检测细胞周期, β-半乳糖苷酶(SA-β-Gal)染色检测衰老细胞百分率; 混合造血祖细胞集落(CFU-Mix)培养观察分选细胞增殖分化能力, 单细胞凝胶电泳(SCGE)检测辐照导致细胞的DNA损伤, RT-PCR检测细胞衰老相关基因p16^{INK4a}、p19^{Arf}、p53、p21^{Cip1/Waf1}mRNA的表达; Western blot法检测p16^{INK4a}、p21^{Cip1/Waf1}蛋白表达。结果 免疫磁性分析法分离纯度的Sca-1⁺HSC/HPC可达94%, 辐照后小鼠每支股骨的Sca-1⁺HSC/HPC数量急剧下降, 细胞出现G1期阻滞; 形成CFU-Mix集落数量和形成集落的细胞数明显降低; SA-β-Gal染色阳性率显著增高, 彗星实验显示细胞拖尾明显延长; p16^{INK4a}、p19^{Arf}、p53、p21^{Cip1/Waf1}mRNA表达明显增强, p16^{INK4a}、p21^{Cip1/Waf1}蛋白的表达水平上调。结论 辐射导致HSC/HPC DNA的损伤和衰老相关生物学改变, p16^{INK4a}-Rb和p19^{Arf}-p53-p21^{Cip1/Waf1}信号通路可能起一定作用。

[关键词] 造血干/祖细胞; 电离辐照; 细胞衰老; DNA损伤

[中图分类号] R329.2 **[文献标志码]** B

Mechanism of hematopoietic stem/progenitor cell aging induced by radiation damage

ZHANG Chen, SUN Ke, GENG Shan, LIU Dianfeng, ZHANG Xianping, LIU Jun, XU Chunyan, WANG Jianwei, WANG Yaping*

Laboratory of Stem Cells and Tissue Engineering, Department of Histology and Embryology, Chongqing Medical University, Chongqing 400016, China

[Abstract] Objective To explore the mechanism underlying the aging of hematopoietic stem/progenitor cells (HSC/HPC) induced by radiation stress. Methods Male C57BL/6J mice were divided randomly into radiation group and control group. The radiation group were treated with total 6.5 Gy X-ray radiation for 24 h; the control group received the same treatment except radiation. Thereafter, Sca-1⁺ HSC/HPC were isolated by magnetic-activated cell sorting (MACS) from bone marrow of all the mice. The distributions of cell cycle were tested by flow cytometry. The percentage of aging cells was detected by SA-β-Gal staining. The potentials of self-renewal and multi-differentiation were measured by CFU-Mix assay. DNA damages of Sca-1⁺ HSC/HPC were analyzed by single cell gel electrophoresis technique (SCGE). The expressions of senescence-associated genes p16^{INK4a}, p19^{Arf}, p53, p21^{Cip1/Waf1} mRNA were detected by RT-PCR. Western blotting was performed to analyze the expressions of p16^{INK4a} and p21^{Cip1/Waf1} proteins. Results The purity of Sca-1⁺ HSC/HPC reached 94% after MACS. Compared with control group cells, after radiation, the number of Sca-1⁺ HSC/HPC per femur and CFU-Mix sharply decreased ($P < 0.05$), Sca-1⁺ HSC/HPC apparently showed G1 arrest and elevated percentage of SA-β-Gal positive cells ($P < 0.05$), cell trailing had a prolonged time, and the expressions of senescence-associated genes (p16^{INK4a}, p19^{Arf}, p53, p21^{Cip1/Waf1}) and relevant proteins (p16^{INK4a}, p21^{Cip1/Waf1}) were up-regulated significantly ($P < 0.05$). Conclusion DNA damage and senescence-associated biological changes of Sca-1⁺ HSC/HPC can be achieved by X-ray radiation, which may be involved in p16^{INK4a}-Rb and p19^{Arf}-p53-p21^{Cip1/Waf1} signal pathways.

[Key words] hematopoietic stem/progenitor cells; ionizing radiation; cell aging; DNA damage

收稿日期: 2012-10-20; 接受日期: 2012-11-29

基金项目: 国家自然科学基金(81173398, 30973818, 30970872)

作者简介: 张琛(1986-), 男, 陕西西安人, 硕士研究生

Tel: 13608389070; E-mail: awpvip@yahoo.com.cn

* Corresponding author, 王亚平, E-mail: ypwangcq@yahoo.com.cn

电离辐射可导致骨髓造血功能抑制, 血细胞生成能力下降, 机体免疫力低下等。目前认为, 辐射对骨髓造血干细胞(hematopoietic stem cells, HSCs)损伤是骨髓造血功能抑制主要因素。DNA损伤是导致成体干细胞减少进而产生衰老的主要原因^[1]。已有研究证明, 电离辐射可以诱导HSCs的DNA损伤, 这些损伤的积累最终导致造血干细胞的衰老, 使其自我更新、多向分化及控制造血系统稳态能力下降^[2-3]。本实验通过对小鼠进行亚致死剂量X线辐照, 探讨辐照导致HSCs的DNA损伤, 检测衰老相关信号通路中关键基因和蛋白表达水平, 旨在了解DNA损伤与HSCs衰老的生物学机制。

1 材料和方法

1.1 材料 6~8周龄雄性C57BL/6小鼠, 体质量28~33 g, 重庆市医学实验动物中心提供(动物合格证号: SCXK(渝)2007-0001)。小鼠随机分成辐照组和假辐照组, 每组30只。辐照组小鼠全身一次性辐照6.5 Gy的X线(直线加速器型号: SL75-14型加速器), 辐照时间2 min, 距离50 cm。假辐照组不进行辐照, 其他处理同辐照组。其他材料和来源如下: 伊思柯夫改良Dubecco培养液(Iscove modified Dubecco's medium, IMDM)、胎牛血清(HyClone公司); 淋巴细胞分离液(天津灏洋生物公司); 抗Sca-1磁珠试剂盒(No. 130-092-529)、MiniMACS磁珠分选系统及MS磁珠分离柱、缓冲液(Miltenyi Biotech公司); 小鼠干细胞集落形成混合培养基(Stem cell公司); SA-β-gal Staining Kit试剂盒、蛋白裂解液、ECL发光试剂盒(碧云天生物技术有限公司); RT-PCR试剂盒(TaKaRa公司); 兔抗小鼠p16^{INK4a}、兔抗小鼠p21^{Cip1/Waf1}—抗、山羊抗兔二抗(Santa Cruz公司); FACS Vantage SE流式细胞仪(BD公司)。

1.2 方法

1.2.1 免疫磁珠分离纯化Sca-1⁺造血干/祖细胞 辐照后24 h, 颈椎脱臼处死小鼠, 取股骨, 分离提取骨髓单个核细胞。按本课题组方法, 采用免疫磁性细胞分选系统分离、纯化Sca-1⁺造血干/祖细胞(Sca-1⁺HSC/HPC), 并进行细胞活性和纯度鉴定^[9]。

1.2.2 SA-β-半乳糖苷酶染色检测 按照SA-β-gal Staining Kit试剂盒方法对辐照组和假辐照组Sca-1⁺HSC/HPC进行SA-β-半乳糖苷酶染色。染色阳性细胞呈蓝色, 倒置相差显微镜下观察200个细胞, 计数阳性细胞百分率。

1.2.3 流式细胞术细胞周期分析 收集辐照组及假辐照组Sca-1⁺HSC/HPC, PBS洗1次, 700 mL/L冰乙醇, 固定24 h, RNase A处理细胞30 min, 加入碘化丙啶染色30 min, FACS Vantage SE流式细胞仪检测, 每个样品分析细胞数 $\geq 2 \times 10^4$ 个, PC-Lysys II软件进行分析, 计算细胞周期各时相的百分比。

1.2.4 造血祖细胞混合集落(CFU-Mix)的培养 依次加入2-

巯基乙醇(1×10^{-4} mol/L)、30 g/L L-谷氨酰胺、马血清、rhEPO、IL-3、rhGM-CSF, 分别加入 1×10^4 个分选后的Sca-1⁺HSC/HPC、27 g/L甲基纤维素, 总体积2 mL。充分混匀后接种于96孔板, 在37℃、含50 mL/L CO₂、饱和湿度的培养箱中培养7 d。根据种植Sca-1⁺HSC/HPC数与形成CFU-Mix数评价辐照组与假辐照组形成CFU-Mix能力与多向分化能力。

1.2.5 单细胞凝胶电泳(彗星实验) 在载玻片上铺琼脂糖, 加入30 μL细胞悬液, 将制好的凝胶放入冷的裂解液裂解2 h, 蒸馏水漂洗3 min, 蛋白酶K孵育2 h, Tirs(pH7.5)浸泡3 min。电泳使细胞双链DNA解螺旋, 噻化乙锭染色5 min, 双蒸水洗掉表面染料, 荧光显微镜下观察结果。每组随机观察20个细胞, 记出细胞拖尾率, 并用目镜测微尺测量30个拖尾细胞的尾长(DNA迁移距离), 计算出每组的平均尾长。Olive尾矩是头部中心到尾部中心的距离和尾部荧光强度百分比的乘积。

1.2.6 p16^{INK4a}、p19^{Arf}、p53、p21^{Cip1/Waf1}mRNA表达检测 分别提取辐照组及假辐照组Sca-1⁺HSC/HPC各 6×10^6 个, TRIzol裂解后提取各组细胞总RNA。将总RNA反转录为相应的cDNA, 逆转录反应条件: 42℃ 30 min, 99℃ 5 min, 5℃ 5 min。以RNA反转录得到的cDNA为模版, 扩增p16^{INK4a}、p19^{Arf}、p53, p21^{Cip1/Waf1}、GAPDH为内参照。引物序列见表1, 设计和合成由上海生工公司完成。反应条件为: 94℃ 2 min, 94℃ 30 s, 58℃ 40 s, 72℃ 40 s, 共35个循环。PCR产物进行10 g/L琼脂糖凝胶电泳, 凝胶成像分析系统对基因条带进行扫描成像, Quantity One软件(Bio Rad)分析电泳图上每条基因条带光密度值, 计算各个样本的强度与内参的比值。

表1 PCR引物

基因	引物序列(5'-3')	片段长度(bp)
p16 ^{INK4a}	正向: TCCGCTGCAGACAGACTGCCAG	295
	反向: CATCGCGCACATCCAGCCGAGC	
p19 ^{Arf}	正向: AAGAACTCTGGTGGCGAC	215
	反向: AGTACCGGAGGCATCTGGACA	
p53	正向: CACCTACTCTCCTCCCCCAA	294
	反向: GGCTCTATAAGGTACCAACCG	
p21 ^{Cip1/Waf1}	正向: ATTCTGGTGATGTCCGACC	144
	反向: AAAGTTCCACCGTTCTCGG	
GAPDH	正向: GTGCTGACTATGTCGTGGAGTCT	602
	反向: GACTGGGAGTTGCTGTTGAAGT	

1.2.7 Western blot法检测p16^{INK4a}、p19^{Arf}、p53、p21^{Cip1/Waf1}蛋白的表达 收集辐照组及假辐照组细胞, 分别提取与测定总蛋白浓度。取等量总蛋白经SDS-PAGE电泳分离后转移至PVDF膜, 50 g/L脱脂奶粉封闭2 h, 加入兔抗鼠p16^{INK4a}—抗(1:200), 4℃过夜, 漂洗后加入辣根过氧化物酶标记的山羊抗兔二抗(1:5 000), 室温反应2 h, ECL增强发光试剂显色, 凝胶成像系统曝光, 显影定影后观察结果。相同方法检测p19^{Arf}、p53、p21^{Cip1/Waf1}蛋白的表达。

1.2.8 统计学分析 数据处理应用SPSS 17.0软件完成, 统计方法采用方差分析, 数据均以 $\bar{x} \pm s$ 表示, $P < 0.05$ 表示差异有统计学意义。

2 结果

2.1 免疫磁珠分离纯化 Sca-1⁺ HSC/HPC MACS 分选前 Sca-1⁺ 细胞百分比为 $(1.02 \pm 0.19)\%$ ；MACS 分离纯化后 Sca-1⁺ 细胞纯度可达 $(93.66 \pm 0.83)\%$ （图 1）^[4]。

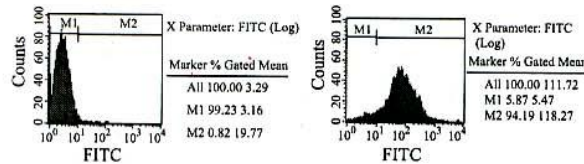


图 1 磁珠分选前后 Sca-1⁺ HSC/HPC 纯度的比较

2.2 辐照小鼠 Sca-1⁺ HSC/HPC 计数 辐照后 24 h 时，辐射组 Sca-1⁺ HSC/HPC 数量比假辐射组急剧下降。

表 2 辐照组小鼠单个股骨 Sca-1⁺ HSC/HPC 计数

组别	Sca-1 ⁺ HSC/HPC 计数 ($\times 10^4$)	$(n = 10, \bar{x} \pm s)$	
		辐照组	假辐照组
辐照组	3.42 ± 0.27		
假辐照组	$0.36 \pm 0.08^*$		

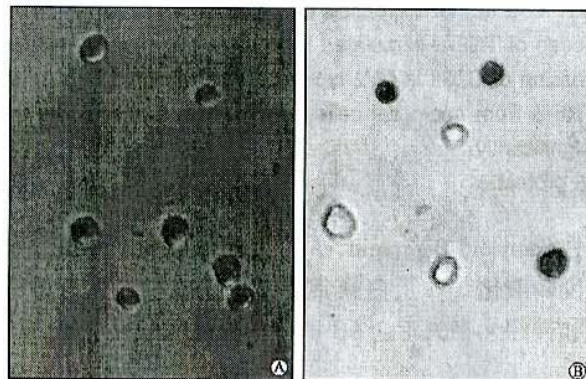
*P < 0.05 vs 假辐照组。

2.3 辐照小鼠 Sca-1⁺ HSC/HPC 衰老 SA-β-半乳糖苷酶染色 SA-β-半乳糖苷酶染色后衰老细胞呈阳性，胞质内可见蓝色颗粒；阴性细胞未着色。结果表明，辐照组 SA-β-半乳糖苷酶染色阳性细胞明显高于假辐照组（图 2，表 3）。

表 3 辐照组 Sca-1⁺ HSC/HPC 的 SA-β-半乳糖苷酶染色阳性细胞百分比 ($n = 10, \%, \bar{x} \pm s$)

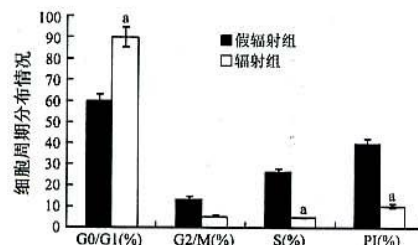
组别	SA-β-Gal 阳性细胞百分比 (%)	$(n = 10, \%, \bar{x} \pm s)$	
		辐照组	假辐照组
辐照组	12.05 ± 0.49		
假辐照组	$2.10 \pm 0.18^*$		

*P < 0.05 vs 假辐照组。



A: 假辐照组 SA-β-半乳糖苷酶表达；B: 辐照组 SA-β-半乳糖苷酶表达。
图 2 辐照小鼠 Sca-1⁺ HSC/HPC 的衰老 SA-β-半乳糖苷酶染色 ($\times 200$)

2.4 辐照小鼠 Sca-1⁺ HSC/HPC 的细胞周期 6.5 Gy 全身小鼠辐照 24 h，骨髓 Sca-1⁺ HSC/HPC 出现 G1 期阻滞，其 G0/G1 期比例明显增高，S 期比例减少，增殖指数 PI[$(S + G2)/M$] 明显降低 ($P < 0.05$ ，图 4)。



*P < 0.05 vs 假辐照组。

图 3 辐照后骨髓 Sca-1⁺ HSC/HPC 的细胞周期分布

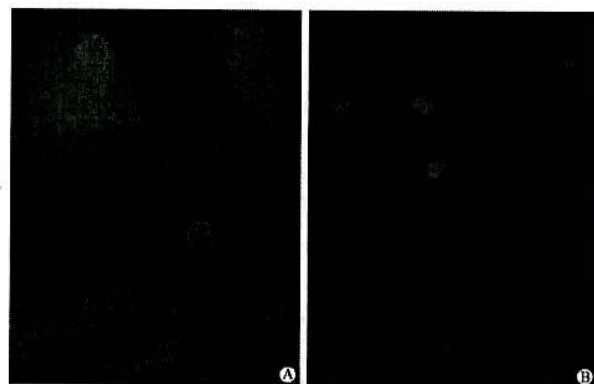
2.5 辐照小鼠 Sca-1⁺ HSC/HPC 形成造血祖细胞混合集落能力 辐照组 Sca-1⁺ HSC/HPC 形成造血祖细胞混合集落 (CFU-Mix) 集落数量和形成集落的细胞数明显低于假辐照组 (表 4)。

表 4 辐照后 Sca-1⁺ HSC/HPC 混合集落形成数量检测

组别	造血细胞混合集落个数 (个/ 10^4 Sca-1 ⁺ HSC/HPC)	$(n = 10, \bar{x} \pm s)$	
		辐照组	假辐照组
辐照组	4.75 ± 0.50		
假辐照组	$12.75 \pm 0.96^*$		

*P < 0.05 vs 假辐照组。

2.6 辐照小鼠 Sca-1⁺ HSC/HPC 的 DNA 损伤 辐照组 Sca-1⁺ HSC/HPC 有明显的拖尾现象。辐照组尾长 109.50 ± 6.36 ，Olive 尾矩 106.63 ± 7.69 ，而假辐照组无拖尾现象 (图 4)。



A: 辐照组；B: 假辐照组。
图 4 两组细胞的彗星实验荧光图片 ($\times 200$)

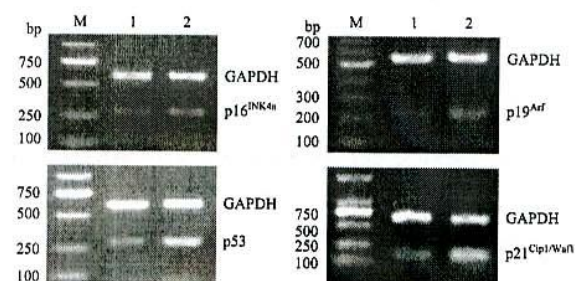
2.7 辐照小鼠 Sca-1⁺ HSC/HPC 衰老相关基因的 mRNA 表达水平的变化 琼脂糖凝胶电泳可清晰见

到28S、18S和5S 3个条带,说明提取的RNA完整性好。PCR结果显示,辐照组 $p16^{INK4a}$ 、 $p19^{Arf}$ 、 $p53$ 、 $p21^{Cip1/Waf1}$ mRNA表达水平显著高于假辐照组(图5,表6)。

表5 辐照组与假辐照组彗星实验尾长及 Olive 尾矩

组别	$(n=10, \bar{x} \pm s)$	
	尾长	Olive 尾矩
辐照组	109.50 ± 6.36	106.63 ± 7.69
假辐照组	4.33 ± 2.08^a	1.48 ± 0.23^a

^a $P < 0.05$ vs 假辐照组。Olive 尾矩是头部中心到尾部中心的距离和尾部荧光强度百分比的乘积。



M: DNA 标准参照物；1：假辐照组；2：辐照组。

图5 $p16^{INK4a}$ 、 $p19^{Arf}$ 、 $p53$ 、 $p21^{Cip1/Waf1}$ mRNA 表达

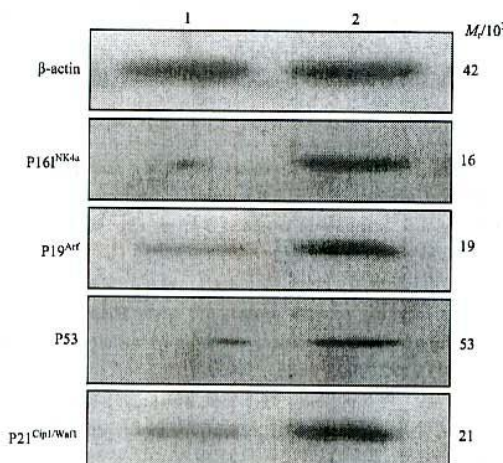
表6 衰老相关基因的 mRNA 表达

(GAPDH 光密度比值, n = 6)

组别	$p16^{INK4a}$ /GAPDH	$p19^{Arf}$ /GAPDH	$p53$ /GAPDH	$p21^{Cip1/Waf1}$ /GAPDH
假辐照组	0.500 ± 0.028	0.479 ± 0.033	0.531 ± 0.037	0.489 ± 0.024
辐照组	0.880 ± 0.043^b	0.878 ± 0.041^b	0.881 ± 0.043^b	0.789 ± 0.031^b

^b $P < 0.01$ vs 假辐照组。

2.8 $p16^{INK4a}$ 、 $p19^{Arf}$ 、 $p53$ 、 $p21^{Cip1/Waf1}$ 蛋白的表达水平的变化 Western blot结果显示辐照组细胞的 $p16^{INK4a}$ 、 $p19^{Arf}$ 、 $p53$ 、 $p21^{Cip1/Waf1}$ 蛋白表达水平较假辐照组明显升高(图6)。



1：假辐照组；2：辐照组。

图6 $p16^{INK4a}$ 、 $p19^{Arf}$ 、 $p53$ 、 $p21^{Cip1/Waf1}$ 蛋白表达

3 讨论

正常组织内环境的稳定间接由组织特异性的干细胞来维持与控制,而衰老机体在应激与损伤状态时保持稳态和恢复稳态能力均下降,这些现象实际上都与组织中干细胞数量减少和功能衰退密切相关^[5]。造血干细胞是干细胞研究与应用领域中开展最早,也是迄今了解最深入的一种成体干细胞,造血干细胞衰老与机体衰老密切相关^[6-7]。电离辐照可以诱导造血干细胞DNA的损伤^[1],而DNA损伤反应在诱导造血干细胞衰老的机制中起重要作用^[8-9]。

单细胞凝胶电泳实验结果显示,辐照组小鼠的 $Sca-1^+$ HSC/HPC 细胞出现明显的拖尾现象,拖尾率100%,而假辐照组无拖尾现象,说明X线辐照导致了辐照组小鼠 $Sca-1^+$ HSC/HPC 细胞DNA的严重损伤。辐照组小鼠的 $Sca-1^+$ HSC/HPC 的SA- β -gal染色阳性率明显提高,出现了显著地衰老现象;G0/G1期细胞比例增加,提示辐照组小鼠的 $Sca-1^+$ HSC/HPC 细胞大多数停止在G1期,细胞周期停滞,细胞的增殖功能受到严重抑制;CFU-Mix 集落数量和形成集落的细胞数明显低于假辐照组,这些都符合干细胞衰老的相关生物学特征,即自我更新和多向分化能力衰退。说明造血干细胞DNA的损伤诱导了其自身的衰老。

细胞衰老过程是借助于信号转导途径来实现的,其中,端粒非依赖的 $p16^{INK4a}$ -Rb 和端粒依赖的 $p19Arf$ - $p53$ - $p21Cip1$ 信号途径是HSC衰老的两个关键分子信号通路,任何一条信号通路激活均可诱导HSC衰老^[10]。Janzen等^[11]以 $p16INK4a$ 正反义载体分别转染年轻的人成纤维细胞, $p16INK4a$ 过表达抑制了Rb磷酸化引起细胞发生G1期阻滞而早衰;其反义载体转染可以延缓细胞的衰老,抑制 $p16INK4a$ 的表达,出现端粒缩短减慢,细胞DNA损伤修复能力增强,说明 $p16INK4a$ 的积累不是衰老的结果,而是衰老的诱因。在不同 $p53$ 活性水平的突变小鼠中,研究发现老年小鼠细胞中 $p53$ 低水平突变的小鼠中HSC细胞数量增多并且其造血干细胞的增殖能力增强,而高水平 $p53$ 突变小鼠的HSC细胞的移植能力显著下降,说明 $p53$ 效能的改变在一定程度上会严重影响衰老机体中HSC数量、增殖和潜能^[12]。 $p21$ 作为 $p53$ 下游激活产物对调控细胞周期具有重要作用,它能够与CDK结合而抑制其活性,从而阻止DNA合成和细胞分裂导致G1期阻滞。本研究显示辐照组细胞 $p16^{INK4a}$ 、 $p19^{Arf}$ 、 $p53$ 、 $p21^{Cip1/Waf1}$ mRNA表达水平明显高于假辐照组,且蛋白表达水平与转录

(下转241页)